



LU3EE200

**Techniques et dispositifs pour l'électronique
analogique et numérique**

**Chapitre n° 2 :
L'Amplificateur Opérationnel Réel
et ses applications**





Un peu d'histoire

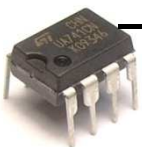
- Concept présenté en 1947, par John R. Ragazzini
 - « As an amplifier so connected can perform the mathematical operations of arithmetic and calculus on the voltages applied to it's input, it is hereafter termed an « Operational Amplifier » », Analysis of problems in dynamics by electronic circuits, Proceedings of the IRE, vol. 35, mai 1947, p. 444
- Premiers AOP (Bob Widlar / Fairchild)
 - μ A702 (1963) 300\$
 - μ A709 (1965) 70\$ \rightarrow 6\$
 - μ A741 (1968, David Fullagar) \rightarrow 2\$
 - Compensé en fréquence
 - TL081, TL082, TL084 (Années 70)
 - CA3140 (Années 70)



BJT

BiFET

BiMOS





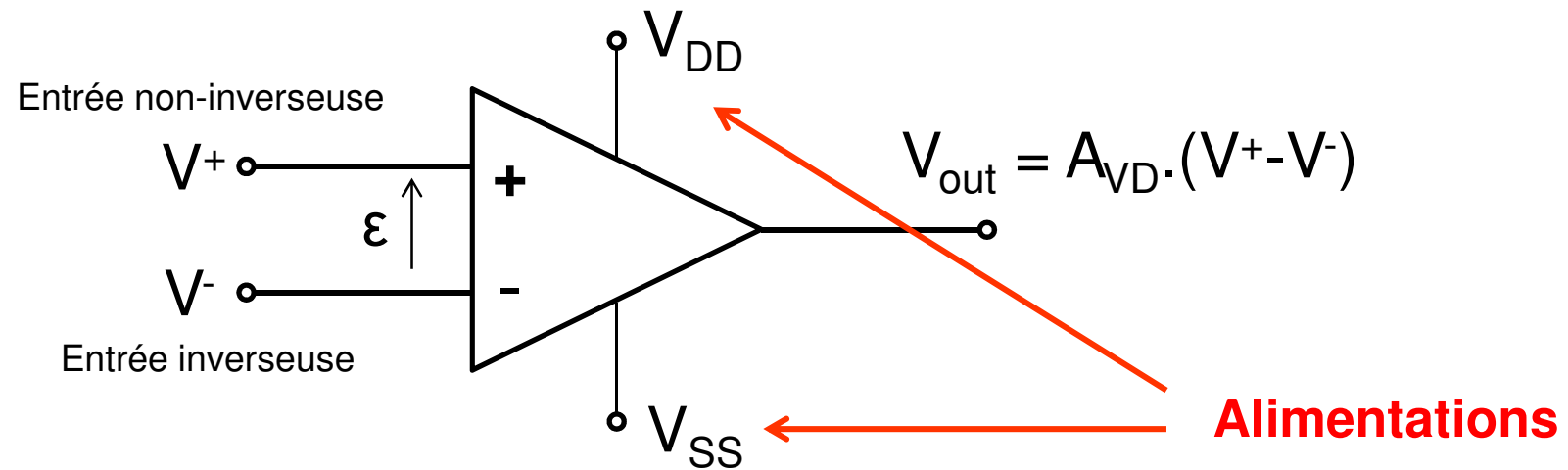
Un peu d'histoire

Référence	Type	Impédance d'entrée	Courants d'entrée	Slew Rate	Produit Gain Bande	Courant de court circuit
μA741	Bipolaire	2 MΩ	80nA	0,5 V/μs	1 Mhz	25mA
TL081	Bifet	10 ¹² Ω	20nA	16 V/μs	4 Mhz	40mA
CA3140	Bimos	10 ¹² Ω	10pA	9 V/μs	4,5Mhz	40mA



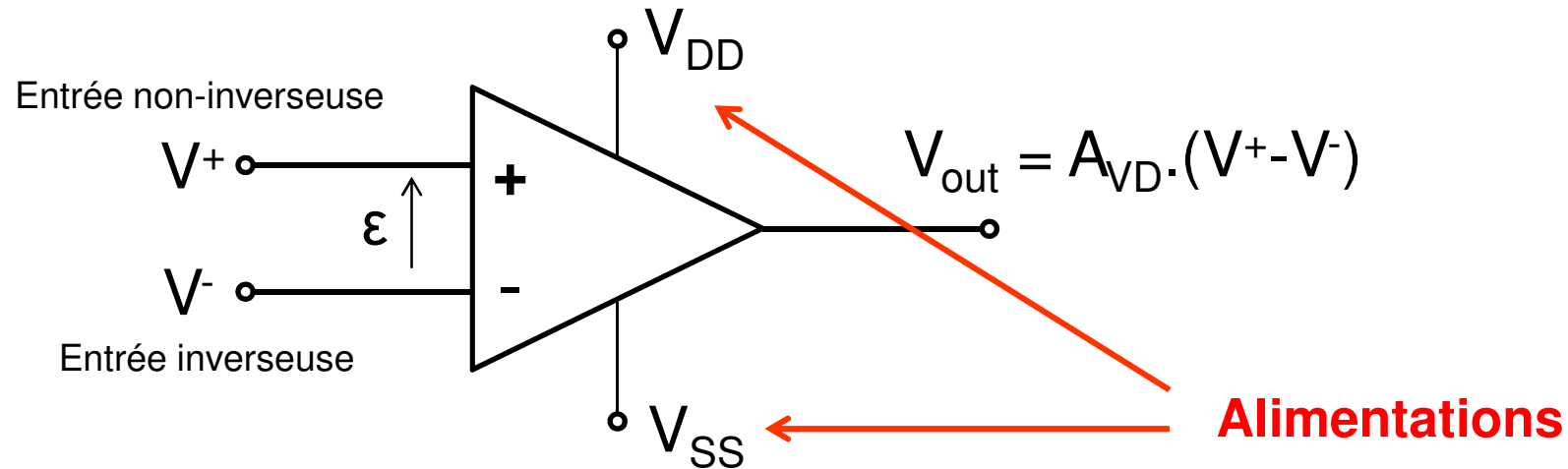


AOP et AOP idéal





AOP et AOP idéal



AOP idéal :

- $A_{VD} \rightarrow \infty \rightarrow$ en régime **linéaire** $V^+ = V^-$
- $Z_{in} \rightarrow \infty \rightarrow I^+ = I^- = 0$
- $Z_{out} = 0$
- Pas de délais, transition nulle
- $V_{SS} \leq V_{out} \leq V_{DD}$

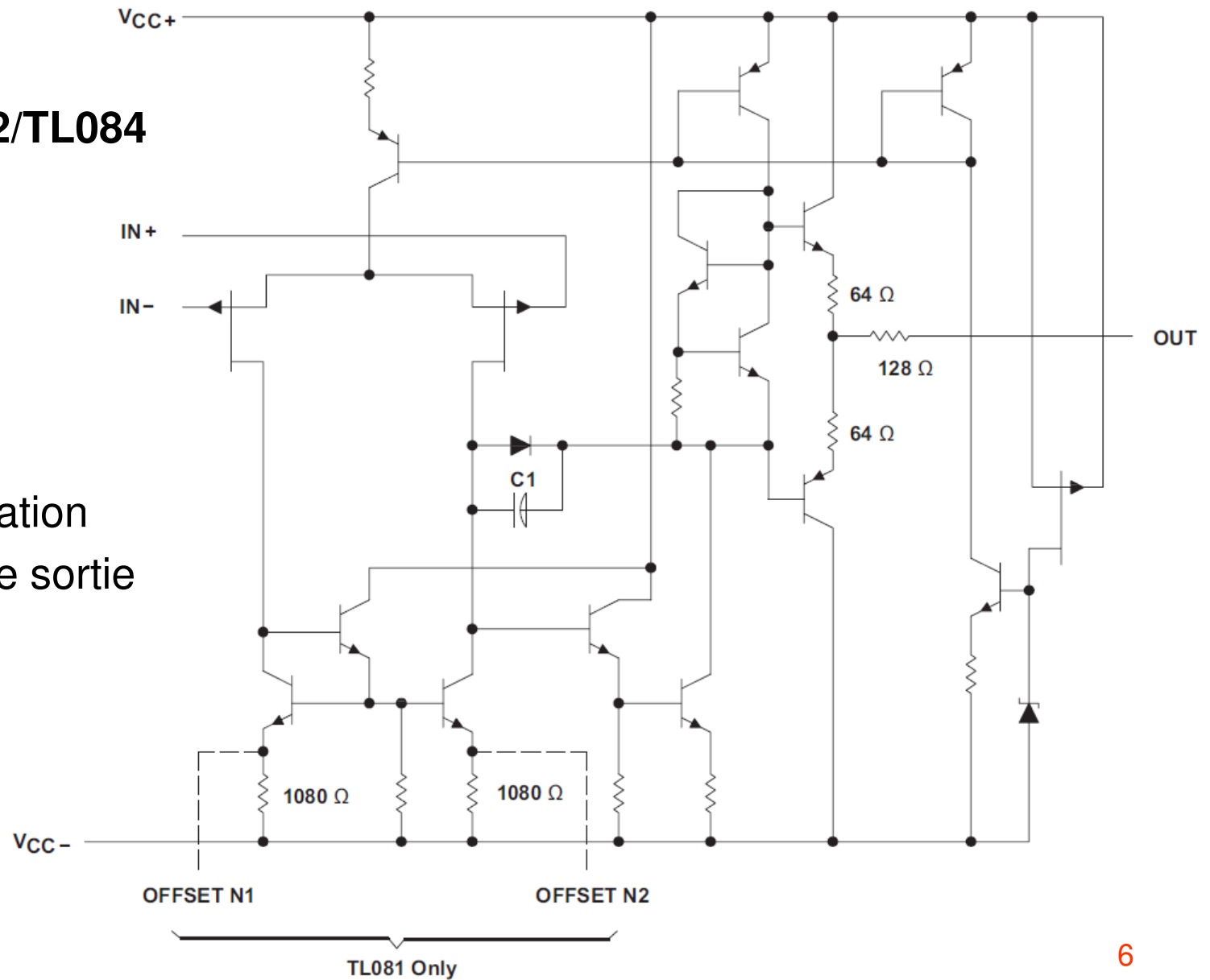




Structure interne

TL081/TL082/TL084

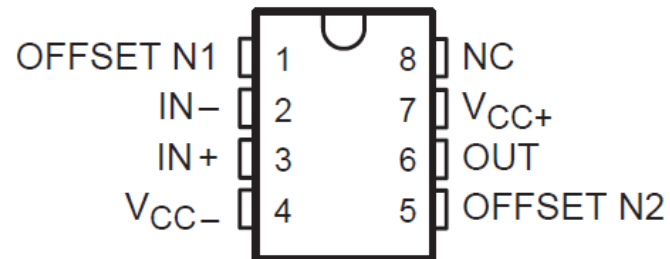
- 3 étages
 - 2 étages d'amplification
 - 1 étage de sortie



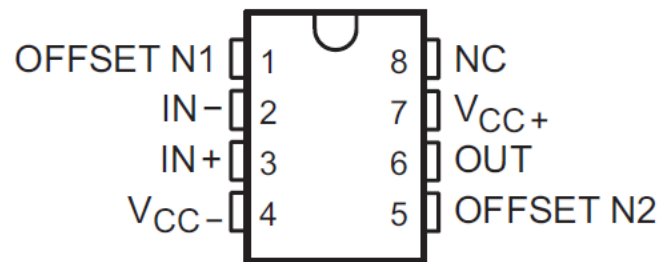


AOP Idéal vs AOP Réel

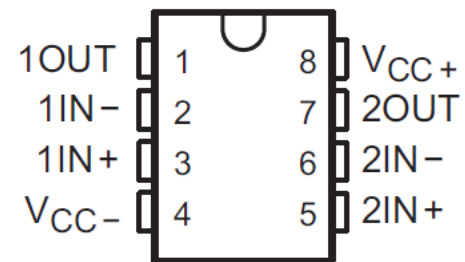
μ A741M . . . JG PACKAGE
 μ A741C, μ A741I . . . D, P, OR PW PACKAGE
 (TOP VIEW)



TL081, TL081A, TL081B
 D, P, OR PS PACKAGE
 (TOP VIEW)



TL082, TL082A, TL082B
 D, JG, P, PS, OR PW PACKAGE
 (TOP VIEW)



NC – No internal connection



1 AOP sur un CI

2 AOP sur un CI



AOP Idéal vs AOP Réel

$$V_{CC\pm} = \pm 15V, T_A = 25^\circ C$$

	AOP idéal	$\mu A741C$
A_{VD} Large-signal differential voltage amplification	∞	200V/mV ($R_L \geq 2k\Omega$)
R_i Input resistance	∞	2M Ω (typ)
R_o Output resistance	0 Ω	75 Ω (typ)





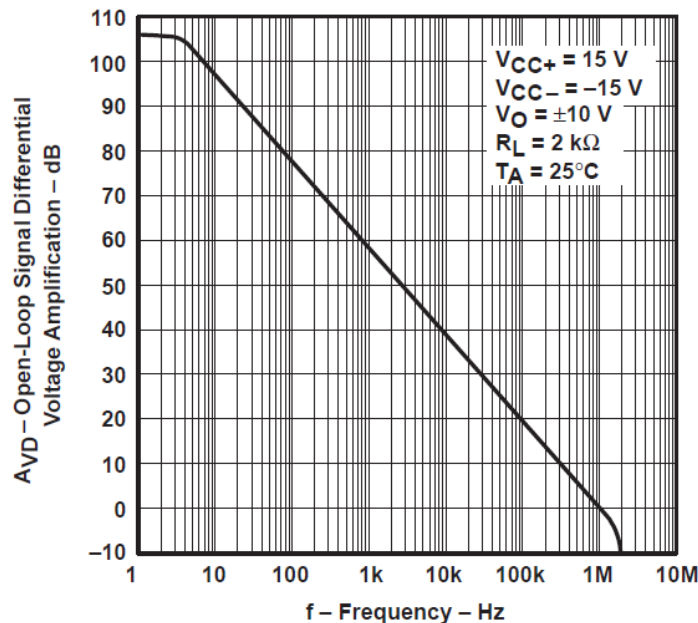
AOP Idéal vs AOP Réel

$$V_{CC\pm} = \pm 15V, T_A = 25^\circ C$$

	AOP idéal	μA741C
A_{VD} Large-signal differential voltage amplification	∞	200V/mV ($R_L \geq 2k\Omega$)
R_i Input resistance	∞	2MΩ (typ)
R_o Output resistance	0Ω	75Ω (typ)

OPEN-LOOP LARGE-SIGNAL DIFFERENTIAL
VOLTAGE AMPLIFICATION

VS
FREQUENCY



$$A_{VD} = \frac{A_0}{\left(1 + \frac{jf}{f_0}\right)} \cdot \frac{1}{\left(1 + \frac{jf}{f_1}\right)} \cdot \frac{1}{\left(1 + \frac{jf}{f_2}\right)}$$

$$A_{VD} \approx \frac{A_0}{\left(1 + \frac{jf}{f_0}\right)}$$

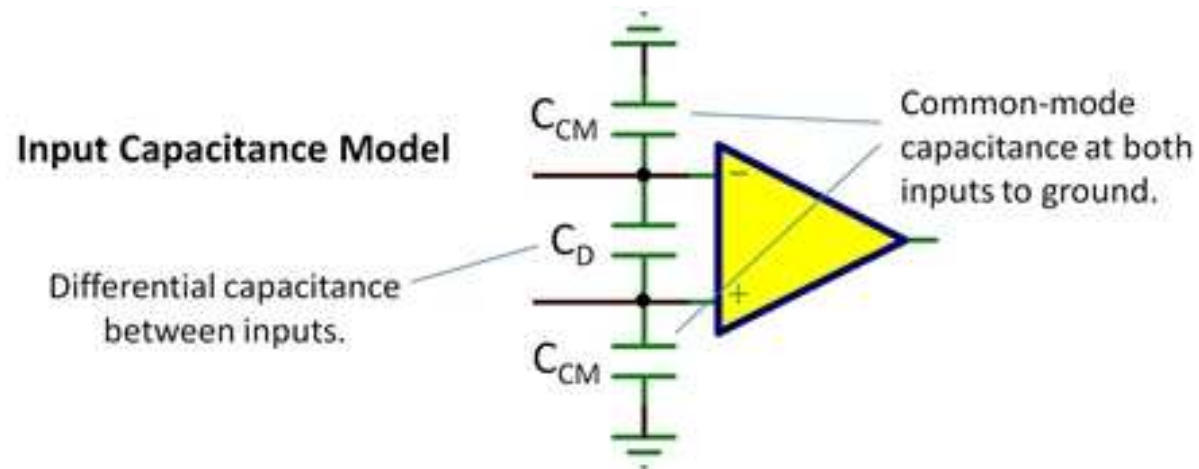
Valeurs typiques : $A_0 = 10^5$ à 10^6 ,
 $f_0 = 2$ à 20Hz , f_1 autour de 1MHz



AOP Idéal vs AOP Réel

$$V_{CC\pm} = \pm 15V, T_A = 25^\circ C$$

	AOP idéal	$\mu A741C$
C_i Input capacitance	-	1,4pF (typ)



C_i est la somme des effets capacitifs « vus » ou modélisés en entrée de l'AOP.





AOP Idéal vs AOP Réel

$$V_{CC\pm} = \pm 15V, T_A = 25^\circ C$$

	AOP idéal	$\mu A741C$
CMRR	∞	90dB (typ)

$$V_{out} = A_{VD}(V^+ - V^-) + A_C\left(\frac{V^+ + V^-}{2}\right)$$

$$CMRR = \frac{A_{VD}}{A_C}$$

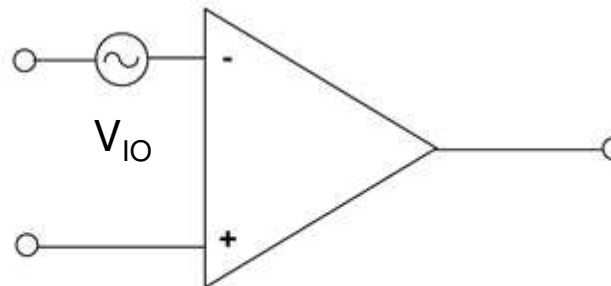




AOP Idéal vs AOP Réel

$$V_{CC\pm} = \pm 15V, T_A = 25^\circ C$$

	AOP idéal	$\mu A741C$
V_{IO} Input offset voltage	-	1mV (typ) 5mV (max)
I_{IO} Input offset current	0nA	20nA (typ)
I_B Input bias current	0nA	80nA (typ)



◆ **Offset Voltage:** The differential voltage which must be applied to the input of an op amp to produce zero output.



Les valeurs de ces courants étant très petites, on pourra continuer de les négliger



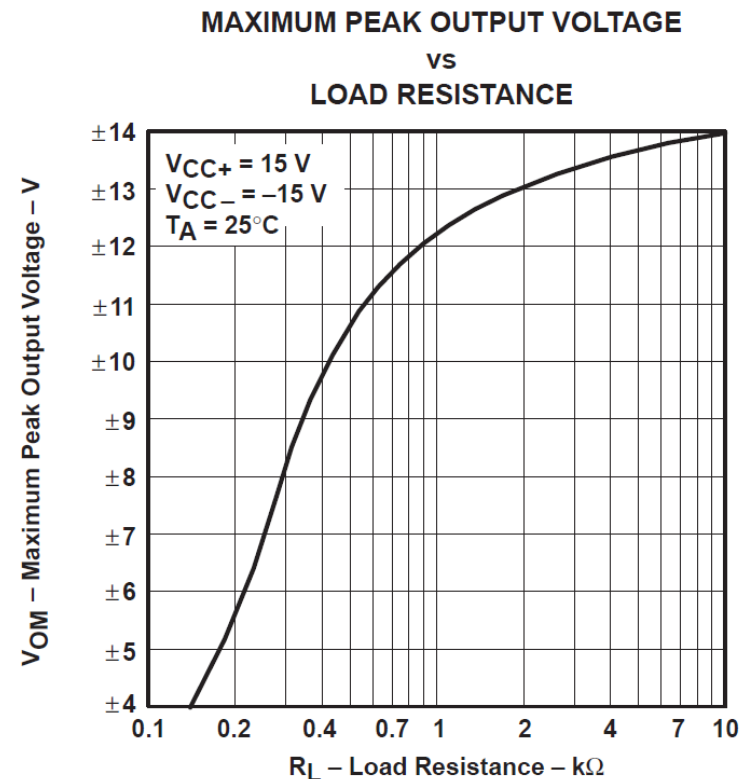
AOP Idéal vs AOP Réel

$$V_{CC\pm} = \pm 15V, T_A = 25^\circ C$$

	AOP idéal	$\mu A741C$
V_{ICM} Common-mode input voltage range	$\pm 15V$	$\pm 13V$
V_{OM} Maximum peak output voltage swing	$\pm 15V$	$\pm 14V (R_L = 10k\Omega)$ $\pm 13V (R_L = 2k\Omega)$



En regime non-linéaire la valeur de la charge joue sur les tensions de seuils





AOP Idéal vs AOP Réel

$$V_{CC\pm} = \pm 15V, T_A = 25^\circ C$$

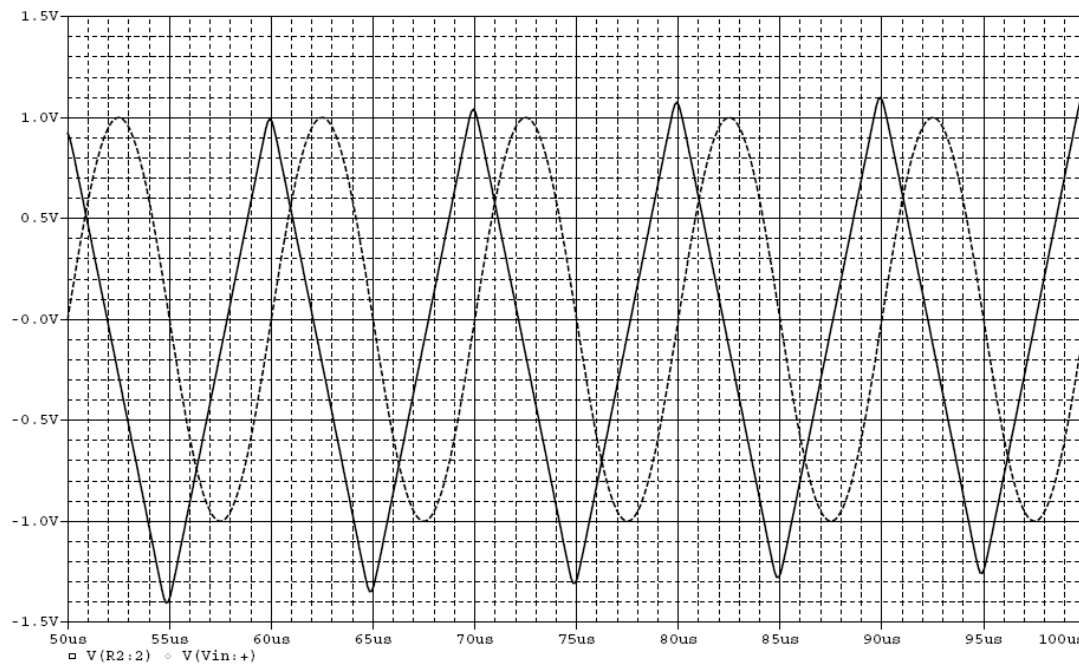
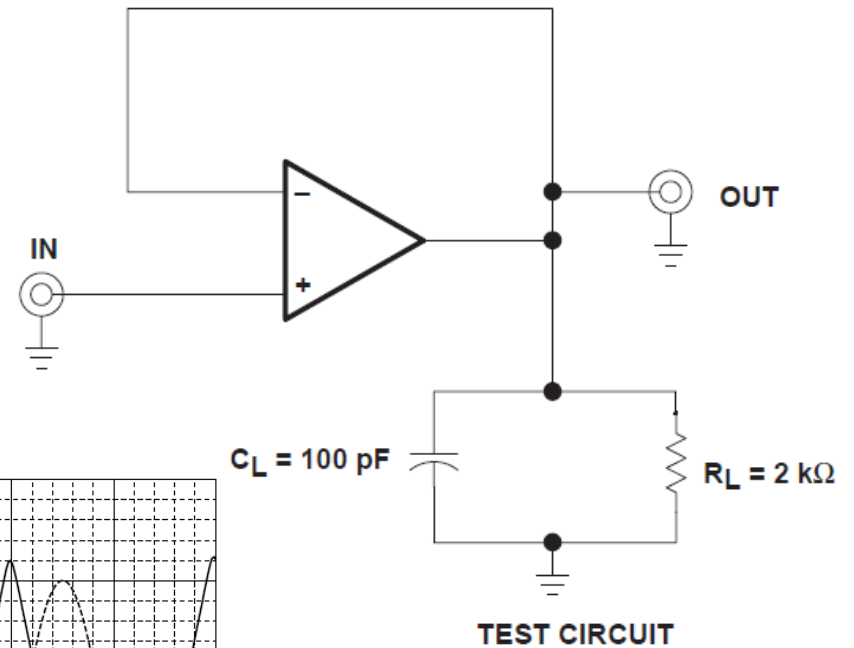
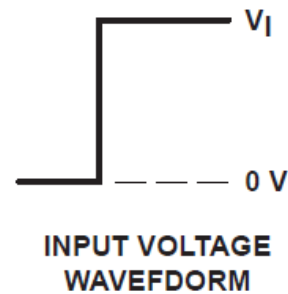
	AOP idéal	$\mu A741C$
I_{OS} Short-circuit output current	-	$\pm 25mA$ (typ) $\pm 40mA$ (max)
I_{CC} Supply current (no load, $V_o = 0$)	-	$1,7mA$ (typ) $2,8mA$ (max)
P_D Total power dissipation (no load, $V_o = 0$)	-	$50mW$ (typ) $85mW$ (max)





AOP Idéal vs AOP Réel

- Conditions de mesure du Slew-Rate

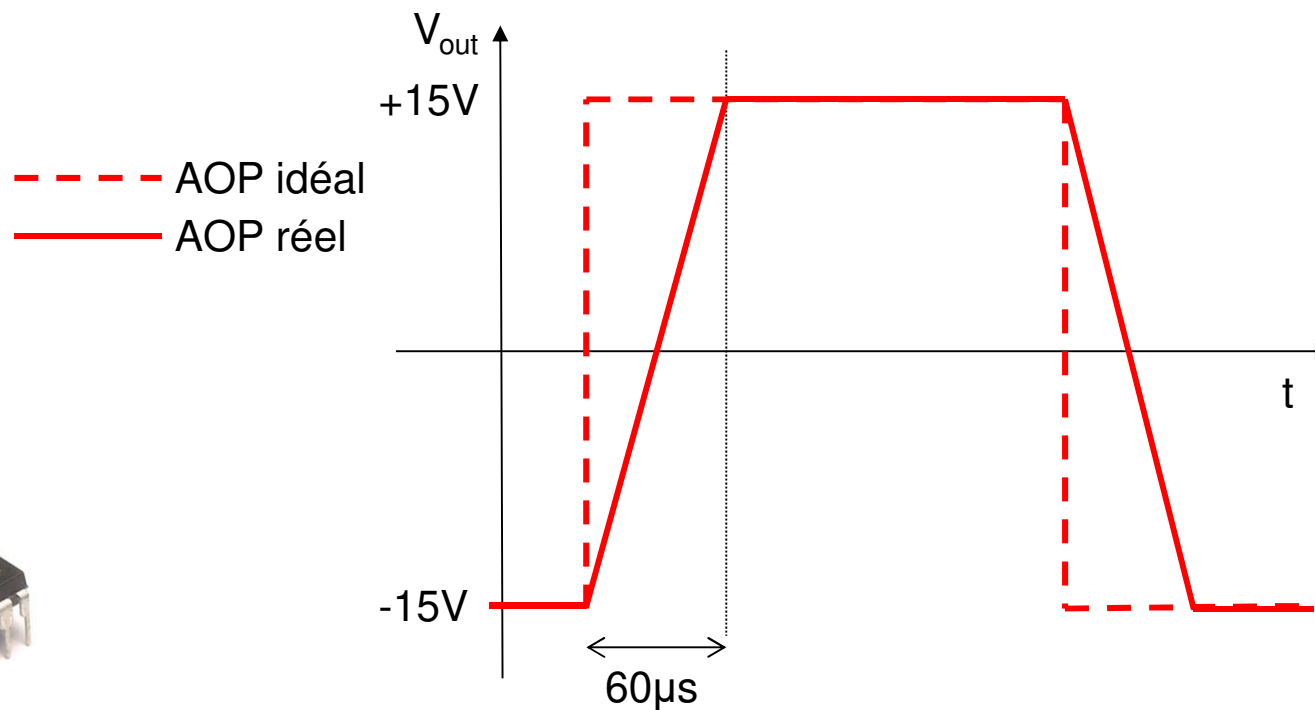




AOP Idéal vs AOP Réel

$$V_{CC\pm} = \pm 15V, T_A = 25^\circ C$$

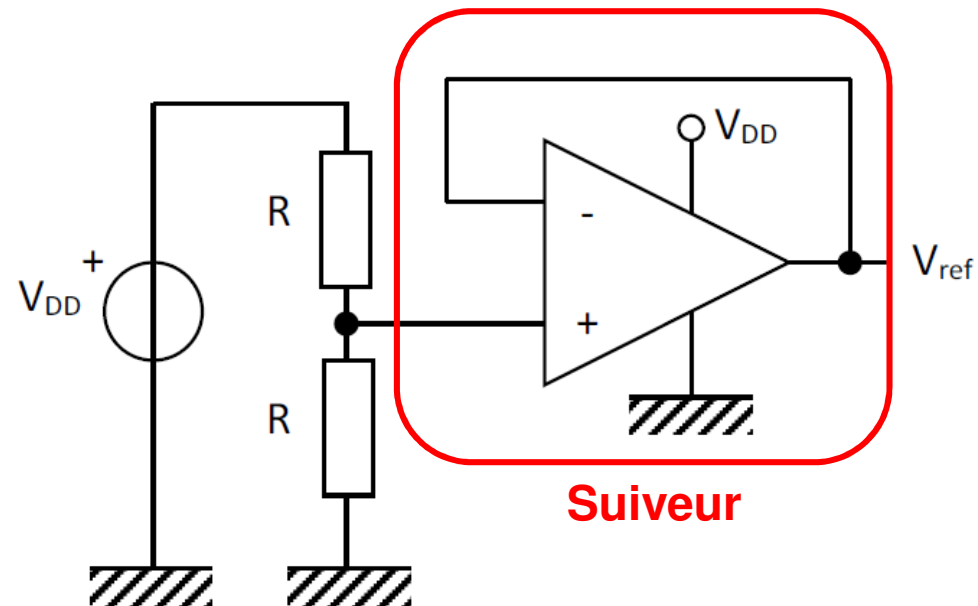
	AOP idéal	$\mu A741C$
SR Slew rate at unity gain $V_I = 10V$, $C_L = 100pF$ $R_L = 2k\Omega$	0	$0,5V/\mu s$





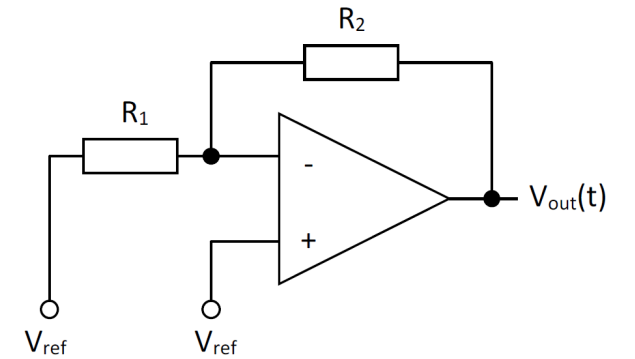
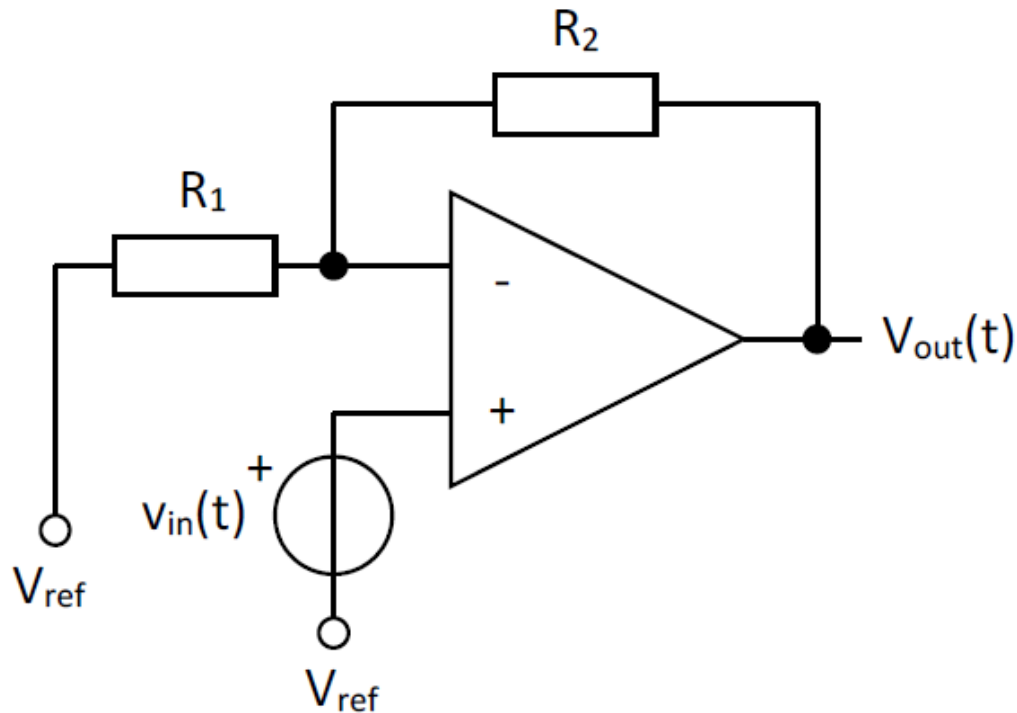
Suiveur

- Tension de référence en mono-alimentation

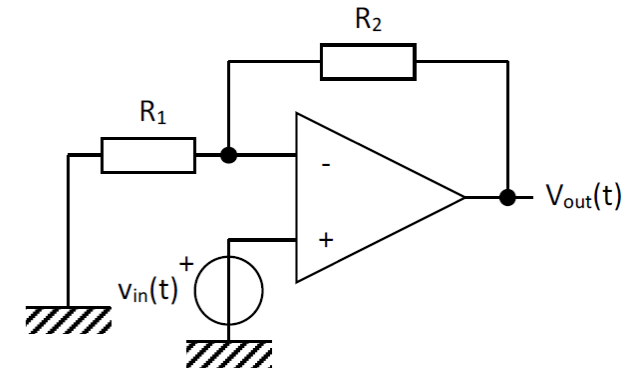




Amplificateur non-inverseur



En courant continu



En courant alternatif

$$V_{out}(t) = V_{ref} + \frac{A_0 \cdot (R_1 + R_2)}{A_0 \cdot R_1 + R_1 + R_2} \cdot \frac{1}{1 + \frac{jf}{f_0} \cdot \frac{R_1 + R_2}{A_0 \cdot R_1 + R_1 + R_2}} \cdot v_{in}(t)$$

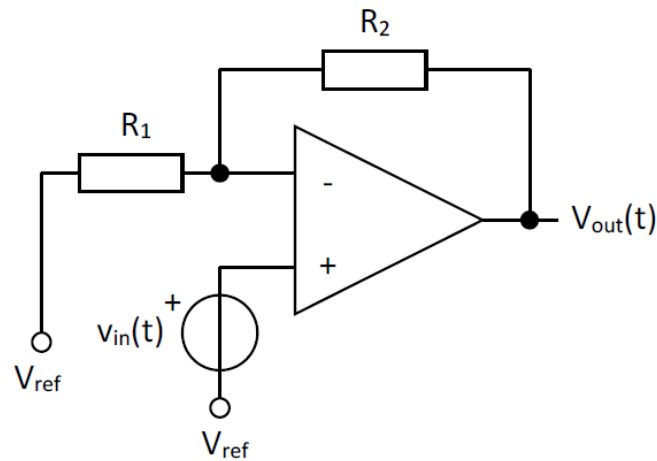
$$K = + \frac{A_0 \cdot (R_1 + R_2)}{A_0 \cdot R_1 + R_1 + R_2} \cong + \frac{(R_1 + R_2)}{R_1}$$

$$f_c = f_0 \cdot \frac{A_0 \cdot R_1 + R_1 + R_2}{R_1 + R_2}$$





Amplificateur non-inverseur

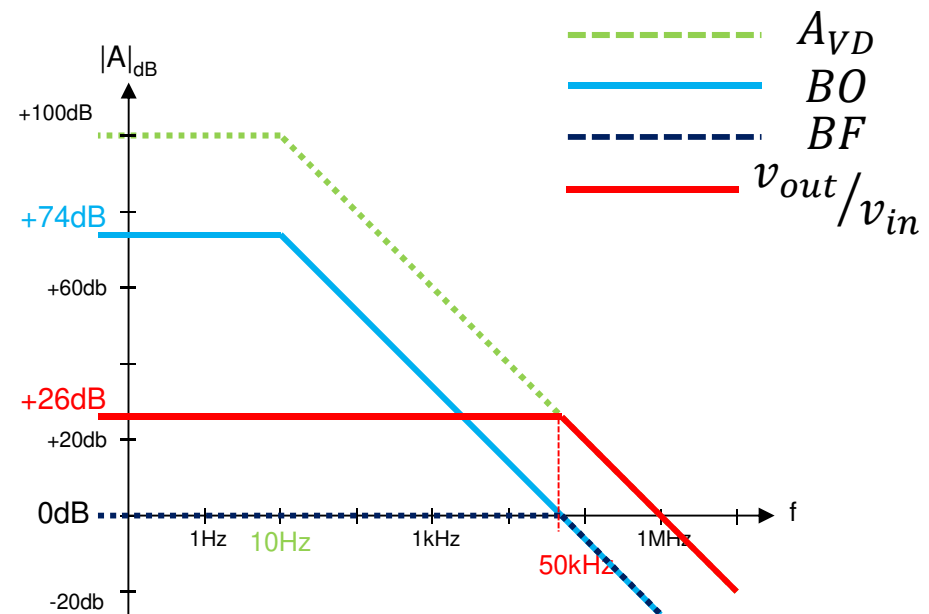
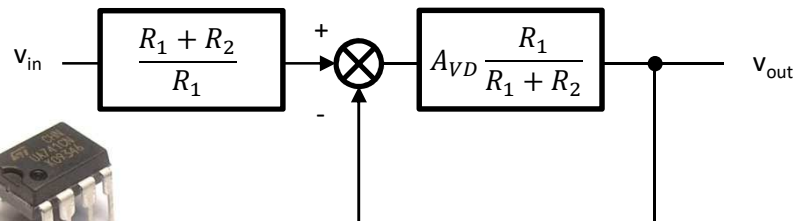
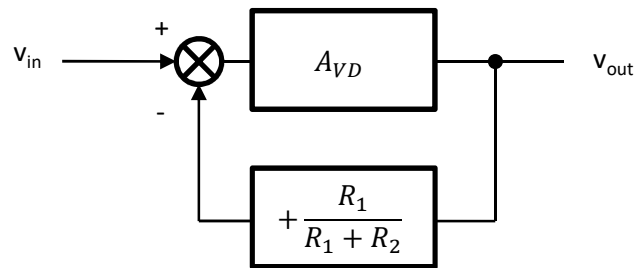


$$V_{out}(t) = V_{ref} + \frac{A_0 \cdot (R_1 + R_2)}{A_0 \cdot R_1 + R_1 + R_2} \cdot \frac{1}{1 + \frac{jf}{f_0} \cdot \frac{R_1 + R_2}{A_0 \cdot R_1 + R_1 + R_2}} \cdot v_{in}(t)$$

En courant alternatif :

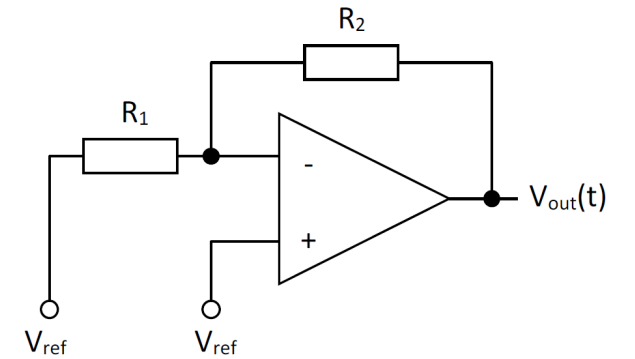
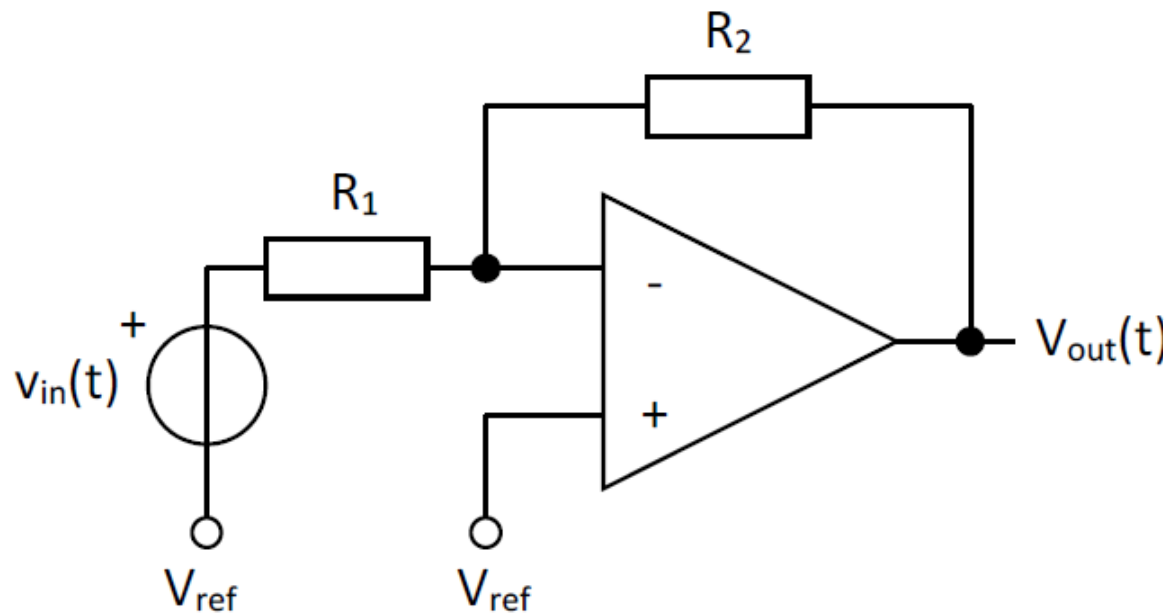
A.N. : $A_0 = 10^5$, $f_0 = 10\text{Hz}$, $R_1 = 1\text{k}\Omega$, $R_2 = 20\text{k}\Omega$

$$v_{out} = A_{VD} \cdot \left(v_{in} - \frac{R_1}{R_1 + R_2} \cdot v_{out} \right)$$

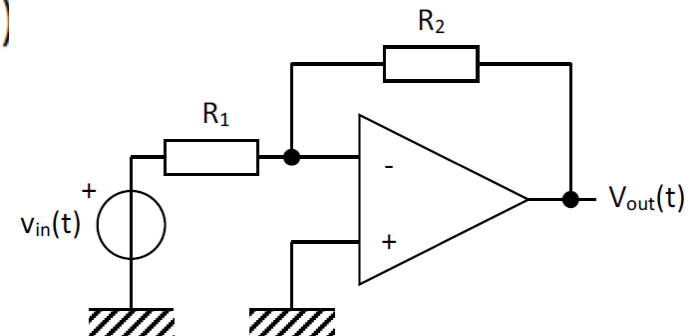




Amplificateur inverseur



En courant continu



En courant alternatif

$$V_{out}(t) = V_{ref} - \frac{A_0 \cdot R_2}{A_0 \cdot R_1 + R_1 + R_2} \cdot \frac{1}{1 + \frac{jf}{f_0} \cdot \frac{R_1 + R_2}{A_0 \cdot R_1 + R_1 + R_2}} \cdot v_{in}(t)$$

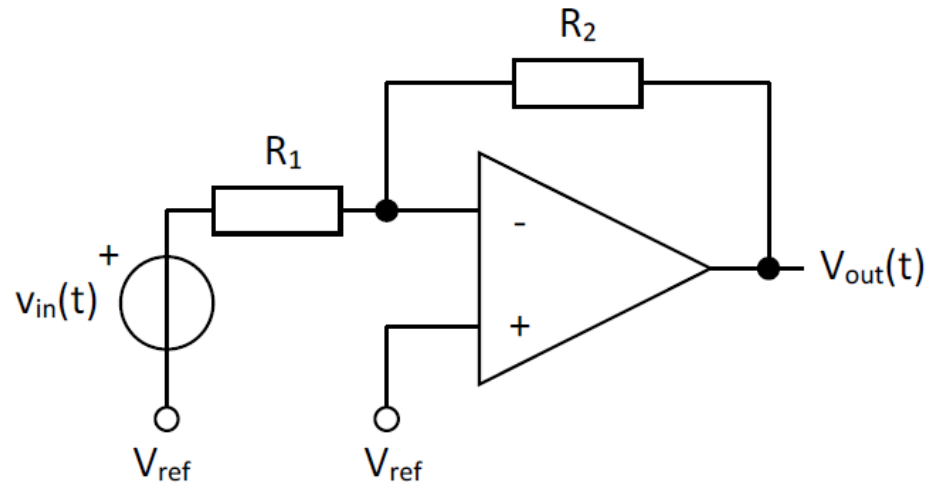


$$K = -\frac{A_0 \cdot R_2}{A_0 \cdot R_1 + R_1 + R_2} \cong -\frac{R_2}{R_1}$$

$$f_c = f_0 \cdot \frac{A_0 \cdot R_1 + R_1 + R_2}{R_1 + R_2}$$



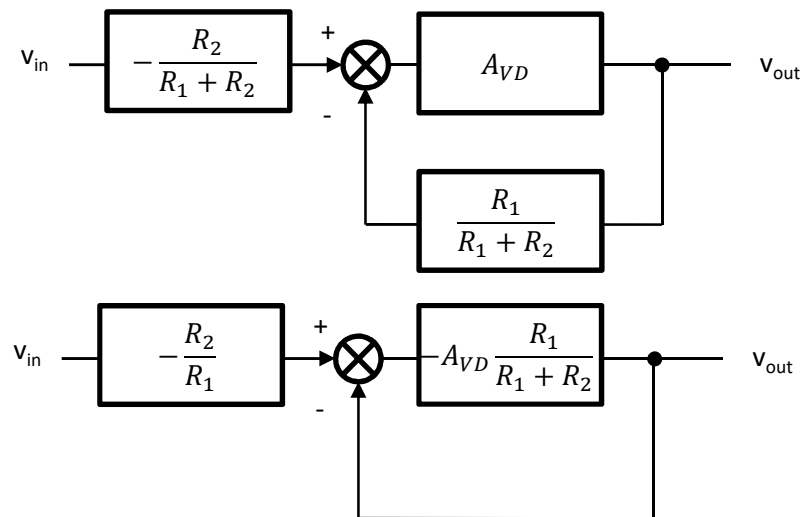
Amplificateur inverseur



$$V_{out}(t) = V_{ref} - \frac{A_0 \cdot R_2}{A_0 \cdot R_1 + R_1 + R_2} \cdot \frac{1}{1 + \frac{jf}{f_0} \cdot \frac{R_1 + R_2}{A_0 \cdot R_1 + R_1 + R_2}} \cdot v_{in}(t)$$

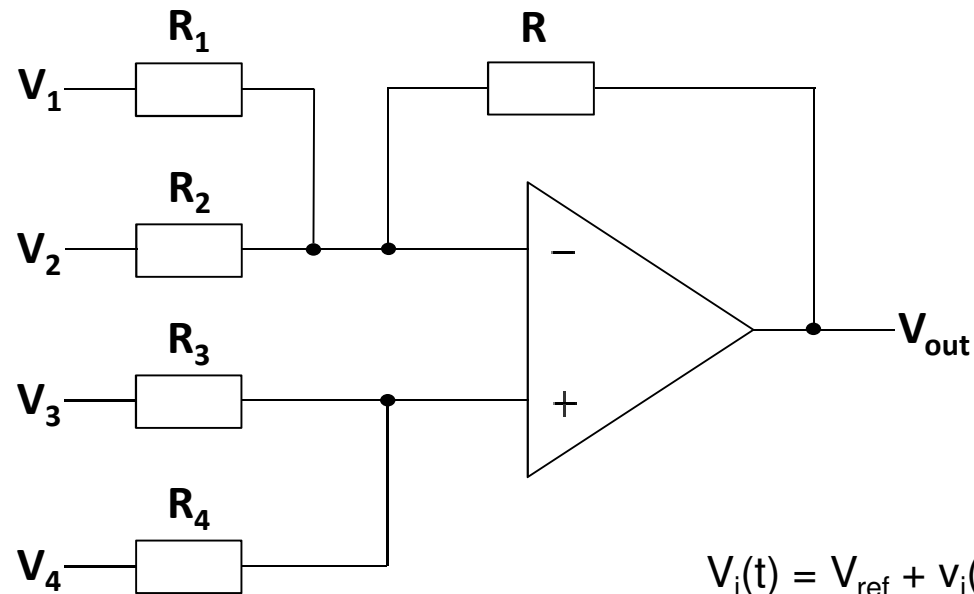
En courant alternatif :

$$v_{out} = A_{VD} \cdot \left(-\frac{R_2}{R_1 + R_2} \cdot v_{in} - \frac{R_1}{R_1 + R_2} \cdot v_{out} \right)$$





Additionneur / Soustracteur

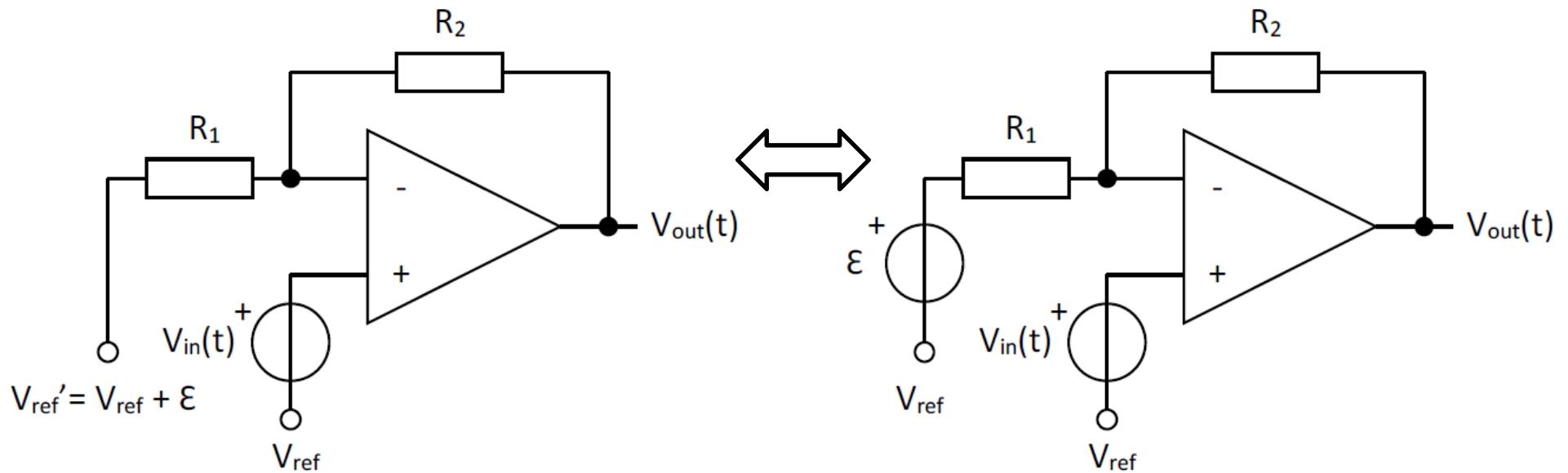


$$V_{out} = V_{ref} + \left(-\frac{R}{R_1}\right) \cdot V_1 + \left(-\frac{R}{R_2}\right) \cdot V_2 + \left(\frac{R + R_1 // R_2}{R_1 // R_2}\right) \cdot \frac{(R_4 \cdot V_3 + R_3 \cdot V_4)}{R_3 + R_4}$$





Tensions de référence différentes



Différentiateur de tension

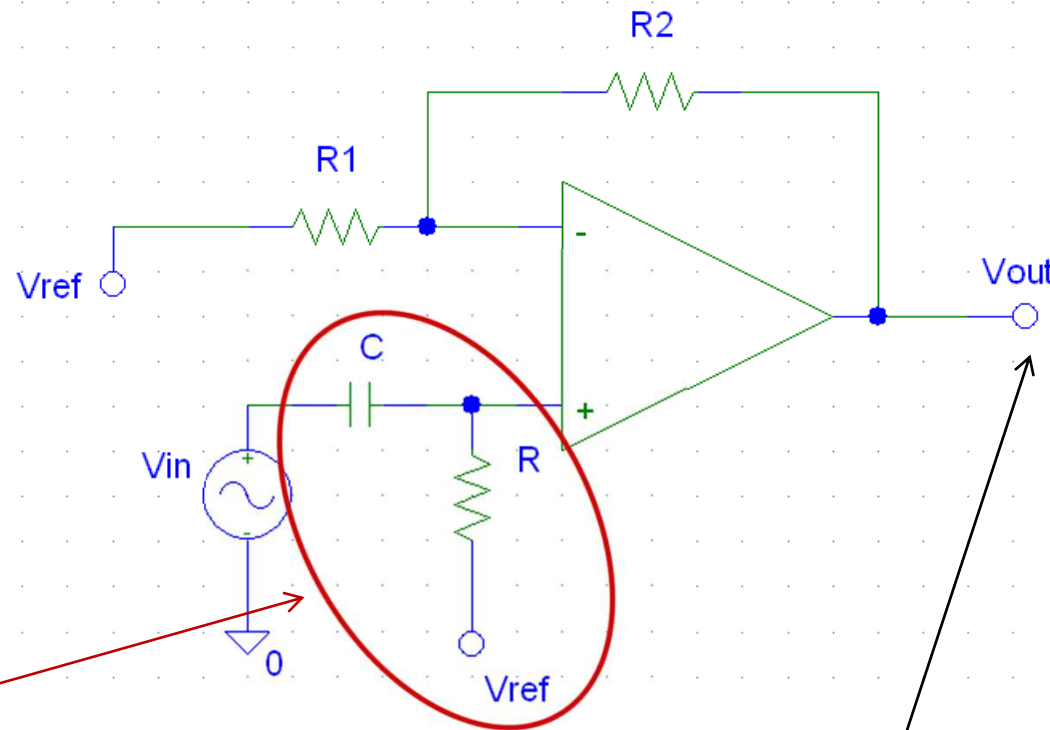
$$V_{out} = V_{ref} + \left(-\frac{R_2}{R_1}\right) \cdot \epsilon + \left(\frac{R_1 + R_2}{R_1}\right) \cdot v_{in}(t)$$





Changement de tension de référence

- Amplification d'un signal moyenné sur 0V



- Filtre passe-haut de fréquence de coupure $f_c \ll f_0$
- Élévateur de tension de V_{ref}



Pour récupérer la composante alternative de V_{out} on utilisera un autre filtre passe-haut



Trigger inverseur

- $V_{out} = V_{DD} \rightarrow V^+ > V^-$

$$V^+ = \frac{R_2}{R_1 + R_2} \cdot V_{ref} + \frac{R_1}{R_1 + R_2} \cdot V_{DD}$$

$$= \frac{R_2}{R_1 + R_2} \cdot \frac{V_{DD}}{2} + \frac{R_1}{R_1 + R_2} \cdot \frac{V_{DD}}{2} + \frac{R_1}{R_1 + R_2} \cdot \frac{V_{DD}}{2}$$

$$= \frac{V_{DD}}{2} + \frac{R_1}{R_1 + R_2} \cdot \frac{V_{DD}}{2} \quad V_T^+$$

- $V_{out} = 0 \rightarrow V^+ < V^-$

$$V^+ = \frac{R_2}{R_1 + R_2} \cdot V_{ref} = \frac{R_2 + R_1 - R_1}{R_1 + R_2} \cdot V_{ref}$$

$$= \frac{V_{DD}}{2} - \frac{R_1}{R_1 + R_2} \cdot \frac{V_{DD}}{2} \quad V_T^-$$

